

## پیاده سازی کنترل نظارتی سیستم های گستته پیشامد با استفاده از PLC

علی اکبر افضلیان

سید محمد نوربخش رضایی

گروه مهندسی کنترل، دانشگاه صنعت آب و برق (شهید عباسپور)، تهران، ایران

Afzalian[AT]pwut.ac.ir

S.M\_Noorbakhsh[AT]yahoo.ca

چکیده - در این مقاله روش های پیاده سازی یک کنترل ناظر برای سیستم های گستته پیشامد روی PLC بروزی شده است. در مسیر حرکت از یک مدل گستته پیشامد که ذاتاً بصورت آسنکرون رفتار نموده و در پی وقوع سلسله پیشامد ها هدایت می شود، به سمت PLC که دارای طبیعتی سنکرون بوده و بر اساس سیگنال های زمانی (نه پیشامد ها) عمل می نماید، چندین مشکل اساسی وجود دارد که برخی از این مشکلات عباتند از: غیر علی بودن سیستم حلقه بسته، امکان وقوع همزمان چند پیشامد در PLC و عدم تطابق آن با کنترل ناظر، چگونگی انتخاب بین مسیر های مختلف، و غیر واقعی بودن همزمانی فرایند و PLC. در این مقاله این مشکلات بررسی شده و راه حل های ممکن ارائه می گردد. پس از آن در قالب مثالی از یک فرآیند صنعتی واقعی و با استفاده از الگوریتمی که ارائه خواهد شد، نحوه پیاده سازی مرحله به مرحله کنترل ناظر بر روی PLC نشان داده خواهد شد. نتایج بدست آمده از پیاده سازی کنترل ناظر بر روی PLC نشان می دهند که با استفاده از روش های مطرح شده می توان مشکلات پیاده سازی کنترل ناظر را کاهش داده و زمینه را برای بکارگیری بلادرنگ سیستم های کنترل ناظر فراهم نمود.

کلید واژه- پیاده سازی کنترل نظارتی، سیستم گستته پیشامد، PLC.

به دلیل گستردگی کاربرد PLC<sup>3</sup> در صنعت، یکی از بهترین گزینه ها برای پیاده سازی عملی یک کنترل ناظر استفاده از PLC می باشد. پیاده سازی کنترل ناظر بر روی PLC در چندین مقاله از جمله [۱۱-۳] و [۱۲] مطرح شده است. در این مقاله با استفاده از الگوریتمی که ارائه می شود، نحوه پیاده سازی مرحله به مرحله کنترل ناظر طراحی شده برای یک فرآیند صنعتی بر روی PLC تشریح خواهد شد. همانند [۵] مزیت الگوریتم ارائه شده در این مقاله نسبت به روش های دیگر در این است که کد LD بدست آمده در این روش را می توان مستقیماً به PLC ارسال نموده و اجرا کرد.

در بخش ۲ تئوری کنترل نظارتی به صورت مختصر معرفی می شود. در بخش ۳ مشکلات موجود برای پیاده سازی عملی یک کنترل ناظر بر روی PLC دسته بندی گردیده و علاوه بر آن راه حل های ممکن برای فائق آمدن بر هر کدام از این مشکلات نیز ارائه می شود. در بخش ۴ نیز در قالب

### ۱- معرفی

سیستم های گستته پیشامد<sup>۱</sup> در بردازندۀ گروه وسیعی از سیستم های صنعتی نظری سیستم های کنترل ترافیک، سیستم های کارخانجات صنعتی، سیستم های مخابراتی، سیستم های قدرت، سیستم های پایگاه داده و... می باشند. برای کنترل این دسته از سیستم های از تئوری کنترل نظارتی<sup>۲</sup> استفاده می شود[۱]. در دهه های اخیر تحقیقات زیادی در رابطه با بسط و توسعه این تئوری صورت پذیرفته است ولی به دلیل وجود مشکلات فراوان بر سر راه پیاده سازی عملی این کنترلرها، هنوز تعداد اندکی از حوزه های کاربردی صنعتی را می توان مثال زد که این تئوری را مورد استفاده قرار داده باشند[۲-۴]. در این مقاله مشکلات اساسی پیاده سازی کنترل ناظر معرفی گردیده و مورد تجزیه و تحلیل قرار خواهد گرفت و در هر مورد نیز انواع راه حل های ممکن برای اجتناب از این مشکلات ارائه می گردد.

<sup>3</sup> Programmable Logic Controller

<sup>1</sup> Discrete Event Systems

<sup>2</sup> Supervisory Control Theory

۳- مشکلات پیاده‌سازی کنترل ناظر بر روی PLC

PLC از اوایل سال ۱۹۷۰ میلادی در کاربردهای صنعتی به عنوان جانشینی برای مدارات منطقی- رله‌ای مورد استفاده قرار گرفت. یک سیکل اسکن PLC شامل سه مرحله بصورت خوادن ورودی‌ها- اجرای برنامه - اعمال خروجی می‌باشد. برنامه‌ی PLC عبارت است از یکسری عبارات منطقی که در هر سیکل اسکن یک پس از دیگر اجرا می‌شوند. برای نوشتن این برنامه می‌توان از انواع زبان‌های برنامه‌نویسی مخصوص این کار نظیر LD ، IL ، SFC ، FBD و ST استفاده نمود[۱۴-۱۶]. معمول‌ترین و شاید ساده‌ترین این زبان‌ها، LD می‌باشد که یک زبان برنامه‌نویسی گرافیکی سمبولیک است.

برای پیاده‌سازی کنترل ناظر بر روی PLC و یا به عبارتی تبدیل اتوماتن کنترل ناظر به یک کد LD می‌توان متناظر با هر کدام از حالت‌ها و پیشامدهای اتوماتن یک متغیر در نظر گرفت. در این صورت یک مسیر یا گذر خاص را می‌توان متغیر با AND متغیر حالت مبدأ و متغیر مربوط به پیشامد متناظر با حالت مقصود برابر یک منطقی و متغیر مربوط به حالت قبل برابر صفر منطقی می‌گردد[۱۲].



شکل ۲- نحوه پیاده‌سازی یک اتوماتن

برای ایجاد ارتباط میان وقوع پیشامد در یک اتوماتن و تغییر سطح یک سیگنال زمانی باینری در PLC می‌توان لبه‌ی بالا رونده‌ی سیگنال PLC را متناظر با وقوع پیشامد در اتوماتن در نظر گرفت. بنابراین برای تشخیص وقوع یک پیشامد کافیست مقدار متغیر در سیکل اسکن فعلی با مقدار آن در سیکل اسکن قبلی مقایسه شود.

در بخش‌های زیر مشکلات پیاده‌سازی کنترل ناظر بر روی PLC بصورت مفصل بررسی شده و راه حل‌های ممکن ارائه می‌گردد.

### ۱-۳- اثر Avalanche

چنانچه در طول یک سیکل اسکن در اثر وقوع یک پیشامد خاص، چندین تغییر حالت رخ دهد مشکلی موسوم به اثر

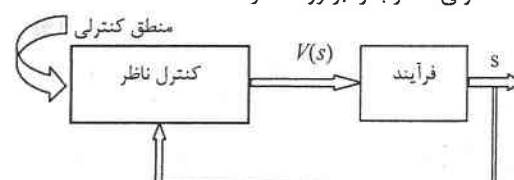
مثالی از یک فرایند واقعی نحوه‌ی پیاده‌سازی مرحله به مرحله‌ی یک کنترل ناظر بر روی PLC با استفاده از الگوریتم بکار گرفته شده ارائه می‌گردد.

### ۲- طراحی کنترل ناظر

یک سیستم‌گسته پیشامد (DES) سیستمی است که دارای رفتار دینامیکی آسنکرون بوده و در اثر وقوع آنی سلسله پیشامدها در نمونه‌های زمانی گسته، از یک حالت به حالت دیگر تغییر وضعیت می‌دهد [۱۲]. تکنیک کنترل نظارتی ابزار مناسبی برای کنترل این دسته از سیستم‌ها می‌باشد. برای استفاده از این تکنیک در قدم اول باید فرایند گسته پیشامد را بصورت یک اتوماتن<sup>۱</sup> مدلسازی نمود. اتوماتن یک-۵- تایی است که بصورت  $G = (Q, \Sigma, \eta, q_0, Q_m)$  تعریف می‌شود.  $Q$ : مجموعه‌ی متناهی از حالت‌های سیستم گسته پیشامد،  $q_0 \in Q$  حالت اولیه و  $Q_m \subseteq Q$ : مجموعه‌ای شامل تمامی حالت‌های مورد نظر این سیستم می‌باشد.  $\Sigma$ : نیز مجموعه‌ای متناهی از تمامی پیشامدها می‌باشد. حالت بعدی تحت وقوع پیشامد  $\sigma$  توسطتابع گذر از حالت  $\eta(q, \sigma)$  مشخص می‌شود که بصورت  $Q \times \Sigma \rightarrow Q : \eta$  تعریف می‌گردد. پس از مدلسازی فرایند، منطق کنترلی مطلوب را نیز باید بصورت یک اتوماتن بیان نمود. با داشتن اتوماتن فرایند (G) و اتوماتن منطق کنترلی (EDES)، می‌توان کنترل ناظر Supervisor را با استفاده از نرم افزار TCT [۱۳] بصورت زیر طراحی نمود:

$$\text{Supervisor} = \text{SUPCON}(G, EDES)$$

همانطوری که در شکل ۱ نیز نشان داده شده، کنترل ناظر در واقع سلسله پیشامد s را که توسط فرایند تولید می‌شود دریافت نموده و با غیرفعال نمودن یکسری از پیشامدهای کنترل پذیر، باعث می‌شود که سیستم حلقه بسته منطق کنترلی مطلوب را برآورده سازد.



شکل ۱- بلوك دیاگرام کنترل ناظر

<sup>۱</sup> Automaton

مختلف مدل DES هستند، بصورت همزمان برابر ۱ منطقی شوند. همانند قسمت قبل با استفاده از یک متغیر میانی می‌توان از عدم تطابق مدل DES کنترل ناظر با نمونه‌ی پیاده‌سازی شده‌ی آن بر روی PLC جلوگیری نمود.

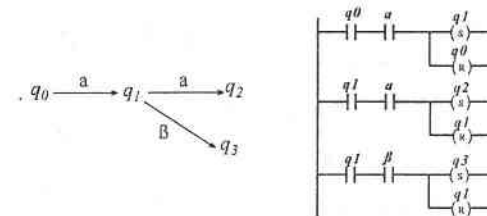
### ۳-۳-۲- غیر علی بودن سیستم حلقه بسته

در تئوری کنترل ناظری [۱] فرض می‌شود که همه‌ی پیشامدها توسط فرایند تولید می‌شود و کنترل ناظر با در اختیار داشتن کل پیشامدها، فقط برخی از پیشامدهای کنترل پذیر را غیر فعال می‌نماید. در صورتیکه در دنیای واقعی، فرآیند در پاسخ به پیشامدهایی که کنترلر(ناظر) تولید نموده رفتار می‌نماید. بنابراین چنانچه تئوری کنترل ناظری در عمل مورد استفاده قرار بگیرد خاصیت علی بودن سیستم حلقه بسته مورد شک قرار می‌گیرد. در [۴] با دید دیگری به مسئله نگریسته شده است و این طور فرض شده که پیشامدهای کنترل پذیر توسط کنترل ناظر و پیشامدهای کنترل ناپذیر توسط فرایند تولید می‌شوند و بدین طریق ابهام در مورد علیت سیستم حلقه بسته بخوبی برطرف می‌گردد.

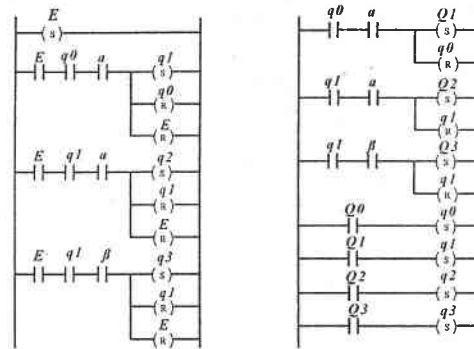
### ۴-۳- چگونگی انتخاب بین مسیرهای مختلف

در اتوماتن کنترل ناظر ممکن است یک حالت دارای چندین مسیر خروجی باشد. چنانچه این مسیرهای خروجی تحت پیشامدهای کنترل ناپذیر باشند، وقوع یکی از این پیشامدها در فرایند خود بخود مسیر خروجی را مشخص می‌نماید. مشکل وقتی ظاهر می‌شود که برای یک حالت، چندین مسیر خروجی تحت پیشامدهای کنترل پذیر وجود داشته باشد که باید توسط PLC (کنترل ناظر) یکی از این پیشامدها فعال شود. به عنوان نمونه شکل ۵ که قسمتی از کنترل ناظر ارائه شده در شکل ۶ مقاله‌ی [۱۷] است را در نظر بگیرید. در حالت  $q_x$  باید یکی از دو پیشامد کنترل پذیر  $w_1$  و  $w_2$  توسط کنترل ناظر (PLC) فعال شود. اگر این ناظر بصورت LD داده شده در سمت چپ شکل ۵ پیاده‌سازی شود، در پله‌ی ۳ با فرض اینکه حالت  $q_a$  فعال بوده و لبه‌ی بالا رونده‌ی  $\alpha$  تشخیص داده شود، حالت  $q_x$  فعال می‌شود. پس از آن در پله‌ی ۵ و ۶ هر دو متغیر کنترل پذیر  $w_1$  و  $w_2$  توسط PLC سمت می‌شوند که مطلوب نمی‌باشد (معادل اینکه در اتوماتن فرایند دو مسیر خروجی یک حالت همزمان

Avalanche بوجود می‌آید. که با وقوع آن، PLC (کنترل ناظر) با فرایند سنکرون نخواهد بود. به عنوان مثال در LD ارائه شده در شکل ۳ چنانچه در ابتدای یک سیکل اسکن لبه‌ی بالا رونده‌ی  $\alpha$  تشخیص داده شود (یعنی این پیشامد رخ داده باشد)، ناظر در انتهای آن سیکل اسکن مستقیماً از حالت  $q_0$  به حالت  $q_2$  خواهد رفت. برای جلوگیری از وقوع چنین مشکلی می‌توان ترتیب پله‌ها را در LD معکوس نمود [۶]. در این صورت پس از رفتن به حالت  $q_1$  در اثر وقوع  $\alpha$ ، این اطمینان حاصل می‌شود که قبل از رفتن به  $q_2$ ، حتماً یک لبه‌ی پایین رونده در  $\alpha$  رخ داده باشد. راه حل دیگر به این صورت است مطابق سمت راست شکل ۴، متناظر با هر حالت مدل گسته پیشامد، دو متغیر در نظر گرفته شود و در پایان سیکل اسکن این دو متغیر یکسان سازی شوند [۱۱]. در روشهای دیگر برای اطمینان از این که در طول هر سیکل اسکن تنها یک تغییر حالت بوجود آید، می‌توان از یک متغیر واسطه مانند متغیر E در سمت چپ شکل ۴ استفاده نمود.



شکل ۳ - اثر Avalanche

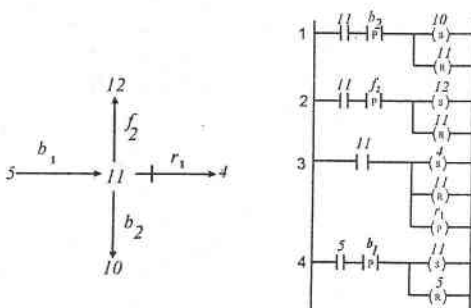


شکل ۴ - جلوگیری از اثر Avalanche

### ۴-۳- امکان وقوع همزمان پیشامدها در PLC

در یک مدل DES در هر لحظه از زمان فقط یک پیشامد رخ می‌دهد، در صورتیکه در PLC ممکن است در طول یک سیکل اسکن چندین متغیر که متناظر با پیشامدهای

فرایند فیزیکی رخ داده باشند، فرایند فیزیکی و کنترل ناظر (PLC) از حالت سنکرونی با یکدیگر خارج می‌شوند. چراکه بعد از وقوع  $f_2$  یا  $b_2$ ، فرایند فیزیکی نمی‌تواند در پایان سیکل اسکن دوم وقوع  $f_1$  را بیدزیرد. این مسئله را می‌توان به صورت یک تأخیر در انتقال دیتا در نظر گرفت. بنابراین چنانچه زبان کنترل ناظر بگونه‌ای باشد که نسبت به تأخیر غیرحساس باشد مشکل بر طرف خواهد شد. با در نظر گرفتن این مفهوم، ناظر شکل ۶ باید بتواند پیشامد  $f_1$  را در حالت ۱ و  $b_2$  را در حالت ۴ نیز قبول نماید.



شکل ۶- باید در یک پله همزمان هم پیشامد کنترل پذیر است شود و هم حالت مقصود فعال شود.

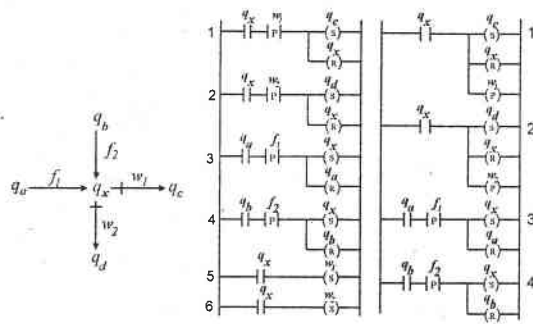
#### ۴- پیاده‌سازی کنترل ناظر بر روی PLC

در این قسمت جهت پیاده‌سازی کنترل ناظر بر روی PLC الگوریتمی برای تبدیل یک اتوماتن به کد LD متاظر آن ارائه می‌شود. این الگوریتم با استفاده از یکسری اطلاعات مربوط به عملکرد کلی فرایند، کد LD متاظر با کنترل ناظر را بگونه‌ای بدست می‌آورد که مستقیماً قابل ارسال به PLC باشد.

در ابتدا چند مفهوم باید تعریف نمود: هر فرایندی با انجام یکسری فعالیت‌ها کار مشخصی را انجام می‌دهد و برای انجام هر کدام از این فعالیت‌ها دسته‌ای از منابع مورد استفاده قرار می‌گیرد (استاندارد IDEF3 [۱۸]). بنابراین فرایند را می‌توان به صورت مجموعه‌ای از فعالیت‌ها و منابع در نظر گرفت [۱۹]. به عنوان مثال پروسه‌ی دریل نمودن یک قطعه کار را می‌توان به صورت یک فعالیت در نظر گرفت که به منابعی نظیر ماشین ابزار و روبات نیازمند می‌باشد. بالافاصله پس از آنکه همه‌ی منابع مورد نیاز یک فعالیت اختصاص داده شد، پیشامد/ولیه‌ی آن فعالیت رخ می‌دهد. بنابراین وقوع پیشامد اولیه‌ی یک فعالیت متاظر با

فعال شوند. در سیکل اسکن بعدی در پله‌ی ۱ حالت  $q_1$  فعال می‌شود و بهدلیل غیر فعال شدن  $q_2$  عمل‌آلت است شدن  $w_2$  در سیکل اسکن قبلی در نظر گرفته نمی‌شود. مشکل هنگامی فاجعه‌آمیز خواهد بود که در عمل رفتار فرایند بگونه‌ای باشد که چنانچه  $w_1$  و  $w_2$  همزمان فعال شوند،  $w_1$  نادیده گرفته شود، بنابراین فرآیند فیزیکی و کنترل ناظر از حالت سنکرون بودن با یکدیگر خارج می‌شوند. برای رفع مشکل باید در یک پله همزمان هم پیشامد کنترل پذیر است شود و هم حالت مقصود فعال شود. این استراتژی در LD سمت راست شکل ۵ نشان داده شده است. هر چند در این LD باز هم پله‌ی ۲ اضافی است.

بطور کلی نهایتاً نظر طراح کد LD الویت  $w_1$  و  $w_2$  را نسبت به یکدیگر تعیین می‌کند و به همین جهت باید پله‌هایی مربوط به پیشامدهای کنترل تاپذیر (پیشامدهای ورودی به PLC) قبل از پله‌های مربوط به پیشامدهای کنترل پذیر قرار داده شوند.



شکل ۵- چگونگی انتخاب بین مسیرهای مختلف

#### ۵-۳- غیر واقعی بودن همزمانی فرایند و PLC

با آنکه می‌توان مدت زمان اجرای یک سیکل اسکن را در مقابل ثابت زمانی فرایند ناچیز تصور نمود، اما هم‌فاز بودن فرایند و کنترل ناظر (PLC) را نمی‌توان گارانتی کرد. چرا که در خلال اجرای برنامه در طول یک سیکل اسکن، PLC هیچ اطلاعی از دنیای خارج ندارد. شکل ۶ قسمتی از کنترل ناظر داده شده در شکل ۱۳ مقاله [۱۲] می‌باشد. چنانچه حالت ۵ فعال باشد و لبه‌ی بالارونده‌ی  $b_1$  تشخیص داده شود، حالت ۱۱ فعال می‌شود. با فرض آنکه در شروع سیکل اسکن بعدی لبه‌ی بالارونده‌ی  $f_2$  یا  $b_2$  وجود نداشته باشد در پله‌ی ۳ حالت ۴ فعال شده و ۶ است می‌شود. حال چنانچه در خلال اجرای سیکل اسکن دوم  $f_2$  یا  $b_2$  در

پیشامد داده شده در سمت چپ شکل ۸ را در نظر بگیرید. وظیفه‌ی این روبات دریل نمودن یک قطعه در خط تولید کارخانه می‌باشد. در حالت عادی چنانچه این روبات خراب شود، یک اپراتور آن را تعمیر می‌نماید. منطقه کنترلی مورد نظر را به این صورت در نظر می‌گیریم که اگر روبات سه دفعه خراب شده، پس از آن فرایند دیگر راه‌اندازی نشود. با در نظر گرفتن این منطقه کنترلی و با استفاده از تشوری کنترل ناظری، کنترل ناظر در نرم‌افزار TCT طراحی می‌شود که در سمت راست شکل ۸ نشان داده است.

برای استفاده از الگوریتم ارائه شده در بخش ۱-۴، ابتدا فعالیت‌ها و منابع مشخص می‌گردد که نتیجه‌ی آن در جدول ۱ نشان داده شده است. پس از آن پیشامدهای فرایند دسته‌بندی می‌شوند که در جدول ۲ ارائه شده‌اند. در مرحله‌ی بعد در صورتیکه پیشامد اولیه‌ی یک فعالیت در اتوماتن کنترل ناظر نشان داده نشده باشد، با اضافه کردن یک حالت میانی، این پیشامد اولیه‌ی نیز در اتوماتن نشان داده خواهد شد. در اینجا پیشامد اولیه‌ی فعالیت تعمیر روبات در اتوماتن کنترل ناظر شکل ۸ نشان داده نشده است، بنابراین با اضافه نمودن حالت‌های میانی در محل‌هایی که پیشامد نهایی این فعالیت رخ داده، پیشامد اولیه‌ی را نیز در اتوماتن نشان می‌دهیم.

جدول ۱ - فعالیت‌ها و منابع بکار گرفته شده در فرایند

فعالیت‌ها	منابع
دریل نمودن قطعه کار	
تعمیر روبات	
روبات	
اپراتور تعمیر کننده روبات	

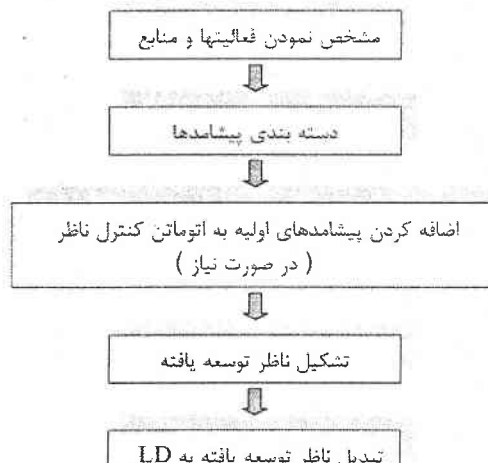
جدول ۲ - دسته بندی پیشامدهای فرایند

پیشامد	گروه پیشامد
اختصاص روبات	پیشامد اختصاص منابع
اختصاص اپراتور تعمیر کار	$R_d$ $O_r$
آزاد شدن روبات	پیشامد عدم اختصاص منابع
آزاد شدن اپراتور تعمیر کار	$\overline{R_d}$ $\overline{O_r}$
شروع فعالیت دریل نمودن قطعه	پیشامد اولیه‌ی یک فعالیت ( $\sigma \in \Sigma_f$ )
شروع فعالیت تعمیر روبات	$s_d$ $s_r$
پایان یافتن فعالیت دریل قطعه	پیشامد نهایی یک فعالیت ( $\sigma \in \Sigma_f$ )
پایان یافتن فعالیت تعمیر روبات	$f_d$ $f_r$
خراب شدن روبات	سایر پیشامدها
	$b$

اختصاص آخرین منبع مورد نیاز برای اجرای آن فعالیت می‌باشد. تکمیل انجام یک فعالیت به منزله‌ی وقوع پیشامد پایانی آن فعالیت می‌باشد. به کار گرفتن هر کدام از منابع برای انجام یک فعالیت، معادل وقوع یک پیشامد اختصاص منابع و آزاد نمودن آن از شرکت در اجرای فعالیت معادل وقوع یک پیشامد عدم اختصاص منابع می‌باشد. پیشامدهای اختصاص و عدم اختصاص یک منبع متناظر با خروجی‌های PLC و پیشامدهای اولیه و پیشامدهای پایانی یک فعالیت متناظر با ورودی‌های PLC می‌باشند.

#### ۱-۴ - الگوریتم تبدیل اتوماتن کنترل ناظر به LD

بلوک دیاگرام الگوریتم پیشنهاد شده در این مقاله در شکل ۷ نشان داده شده است که نمونه‌ی اصلاح شده‌ی الگوریتم ارائه شده در [۵] می‌باشد. با استفاده از این الگوریتم می‌توان کد LD بدست آمده را مستقیماً بر روی PLC اریبال نموده و آن را اجرا کرد. در قسمت ۲-۴ نحوه استفاده از این الگوریتم در قالب مثالی از یک فرایند واقعی کاملاً روش خواهد شد.



شکل ۷ - بلوک دیاگرام الگوریتم پیاده سازی کنترل ناظر بر روی PLC

#### ۲-۴ - مثالی از پیاده‌سازی یک کنترل ناظر بر روی PLC

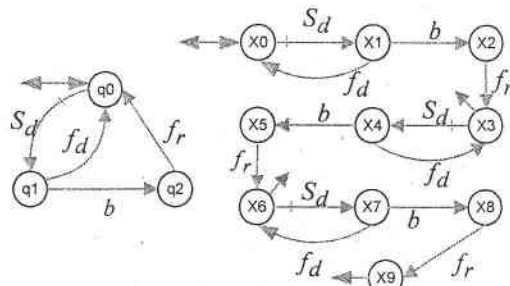
برای نشان دادن چگونگی استفاده از الگوریتم فوق برای تبدیل کنترل ناظر به کد LD، مثال ساده‌ای از یک فرایند واقعی مد نظر قرار می‌گیرد. روبات R با مدل گسسته

$$\begin{aligned} Inputs_i &= \begin{cases} \{x\} & \text{if } (\sigma_i \in \Sigma_s) \& (N = 1) \\ \{x, \sigma_i\} & \text{o.w.} \end{cases} \\ O_{set_i} &= \{ \{r_j \mid R_{y_i}(j) = 1 \& R_x(j) = 0\}, y_i \} \quad j = 1, 2, \dots, m \\ O_{reset_i} &= \{ \{r_j \mid R_{y_i}(j) = 0 \& R_x = \emptyset\}, x \} \\ * &\text{ در رابطه‌ی بالا متغیر } r_j \text{ متناظر با پیشامد اختصاص و} \\ &\text{ یا عدم اختصاص زامین منبع در حالت } x \text{ می‌باشد.} \end{aligned}$$

با بکار گیری این روابط برای هر کدام از حالت‌های مدل گسته پیشامد شکل ۹، کد LD متناظر با آن بصورت شکل ۱۰ بدست خواهد آمد. به عنوان نمونه حالت X1 را در نظر بگیرید که از آن ۲ گذر تحت پیشامدهای  $f_d$  و  $b$  خارج می‌شوند. متناظر با این حالت، دو پله‌ی ۳ و ۴ در شکل ۱۰ به ترتیب برای گذر تحت پیشامدهای  $f_d$  و  $b$  در نظر گرفته می‌شوند. با توجه به اینکه از حالت X1 تحت پیشامد  $f_d$  می‌شوند، با توجه به اینکه از حالت X1 تحت پیشامد  $f_d$  به حالت X0 می‌رویم، در پله‌ی ۳ که متناظر با این پیشامد در نظر گرفته شده است، متغیرهای X1 و  $f_d$  را به عنوان ورودی‌ها، متغیر X0 را به عنوان خروجی ست شونده، و نهایتاً متغیرهای  $R_d$  و  $X1$  را به عنوان خروجی‌های ریست شونده‌ی این پله در نظر می‌گیریم. یعنی؛  $Inputs_3 = \{X1, f_d\}$ ,  $O_{set_3} = \{X0\}$ ,  $O_{reset_3} = \{X1, R_d\}$  با بکار گیری دستورالعمل فوق برای تمامی گذرهای مدل شکل ۹، نهایتاً کد LD بدست آمده بصورت شکل ۱۰ خواهد بود که با ارسال مستقیم آن به PLC می‌توان کنترل ناظر شکل ۸ را محقق نمود. به عنوان نمونه با اجرای پله‌ی ۵ این کد، چنانچه روبات خراب شده باشد (حالت  $x_2$ ) باست شدن  $O_r$ ، اپراتور تعمیر کار فعال می‌شود.

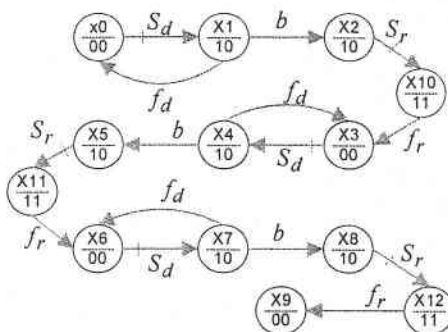
## ۵- نتیجه گیری

در این مقاله ابتدا مشکلات اساسی فرازوی پیاده‌سازی کنترل ناظر روی PLC به صورت کامل بررسی گردید. به دنبال آن در قالب مثالی از یک فرایند واقعی نشان داده شد که با داشتن یکسری اطلاعات قبلی از رفتار فرایند و استفاده از الگوریتم ارائه شده، به سادگی می‌توان مدل گسته پیشامد کنترل ناظر را بر روی PLC پیاده‌سازی نمود. بررسی دیاگرام نرdbانی بدست آمده از الگوریتم مذکور، صحت پیاده‌سازی را تأیید می‌کند. امکان پیاده‌سازی کنترل ناظر روی PLC زمینه را برای بکار گیری تئوری کنترل نظارتی در کنترل بلادرنگ سیستم‌های گسته پیشامد فراهم خواهد نمود.



شکل ۸- مدل گسته پیشامد فرایند و کنترل ناظر آن

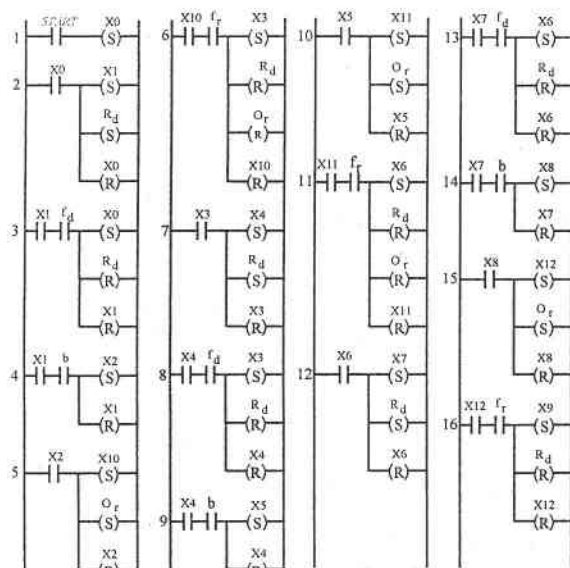
در قدم بعد بر اساس اطلاعات جداول ۱ و ۲ برای هر حالت  $x$  بردار باینری  $R_x$  با اندازه‌ی  $m \times 1$  را تشکیل می‌دهیم که در آن  $m$  تعداد کل منابع موجود در فرایند می‌باشد. با نمایش این بردار در هر حالت، کنترل ناظر توسعه یافته بصورت شکل ۹ بدست می‌آید (حالت‌های نشاندار مشخص نشده‌اند). به عنوان نمونه در حالت اولیه‌ی X0 نیاز به هیچ کدام از منابع نمی‌باشد پس  $R_{X0} = 00$  خواهد بود. با وقوع پیشامد  $s_d$  سیستم به حالت X1 می‌رود که در آن فعالیت دریل کردن قطعه توسط روبات انجام می‌شود، پس در این حالت به روبات نیاز می‌باشد ولی به اپراتور تعمیر کار نیازی نیست، در نتیجه  $R_{X1} = 10$  خواهد بود. در حالت X2 که متناظر با خراب بودن روبات است، نیز فقط روبات به عنوان منبع مورد استفاده قرار می‌گیرد پس  $R_{X2} = 10$ .



شکل ۹- مدل گسته پیشامد کنترل ناظر توسعه یافته

مرحله‌ی آخر تبدیل کنترل ناظر توسعه یافته به کد LD می‌باشد. برای هر کدام از حالت‌های ناظر توسعه یافته به این صورت عمل می‌نماییم: با فرض آنکه حالت  $x$  دارای  $N$  مسیر خروجی باشد متناظر با هر کدام از این  $N$  مسیر که  $\sigma_i(x) = y_i$ ,  $i = 1, 2, \dots, N$ , یک پله در دیاگرام نرdbانی LD در نظر گرفته می‌شود. خروجی‌های ست شونده و ریست شونده و ورودی‌های پله‌ی  $\sigma_i$  ام دیاگرام نرdbانی (کد LD) به این صورت در نظر گرفته می‌شوند:

- [12] B. Brandin, "The Real-Time Supervisory Control of an Experimental Manufacturing Cell," *IEEE Transactions on Robotics and Automation*, vol. 12, No. 1, February, 1996.
- [13] W. M. Wonham, "Notes on Control of Discrete Event Systems," University of Toronto, 2006.
- [14] R. W. Lewis, "Programming industrial control systems using IEC 1131-3," 2nd ed, London, U.K.: The Institution of Electrical Engineers, 1995.
- [15] G. Frey and L. Litz, "Formal methods in PLC programming," presented at Systems, Man, and Cybernetics, 2000 IEEE International Conference on, 2000.
- [16] E. A. Parr, "Programmable Controllers, An engineer's guide," 3rd ed, Oxford, U.K.: Newnes, 1999.
- [17] F. Charbonnier, H. Alla, R. Daivid, "The Supervised Control of Discrete-Event Dynamic Systems," *IEEE TRANSACTIONS ON CONTROL SYSTEMS TECHNOLOGY*, vol. 7, NO. 2, MARCH 1999.
- [18] Enterprise-Control Systems Integration Part I: Models and Terminology," ANSI/ISA-95.00.01-2000, ISA, 2002.
- [19] H. Darabi, M. Jafari, S.S. Manapure, "Finite Automata Decomposition for Flexible Manufacturing Systems Control and Scheduling," *IEEE TRANSACTIONS ON SYSTEMS, MAN, AND CYBERNETICS—PART C: APPLICATIONS AND REVIEWS*, vol. 33, NO. 2, MAY 2003.



شکل ۱-۱۰ کد LD متناظر با کنترل ناظر توسعه یافته

## مراجع

- [1] J. G. Ramadge, W.M. Wonham, "The control of discrete-event systems," *Proc. IEEE*, vol. 77 no. 1, pp. 81-98, 1989.
- [2] A. Afzalian, W.M. Wonham, "Discrete Event System Supervisory Controller Design for an Electrical Power Transmission Network," *International Conference on Electrical Engineering ICEE*, 2006.
- [3] R.J. Leduc and W.M. Wonham, "DISCRETE EVENT SYSTEMS MODELING AND CONTROL OF A MANUFACTURING TESTBED," 1995.
- [4] S. Balem, "Control of Discrete Event Systems: Theory and Application, Ph.D. thesis, Swiss Federal Institute of Technology, Zurich, Switzerland," 1992.
- [5] J. Liu and H. Darabi, "Ladder Logic Implementation of Ramadge-Wonham Supervisory Controller" ,*Proceedings of the Sixth International Workshop on Discrete Event Systems (WODES'02)*, 2002.
- [6] M. Fabian, A Hellgren, "PLC-based Implementation of Supervisory Control for Discrete Event Systems ", *Proceedings of the 37the IEEE conference on Decision & Control*, Tampa, Florida, USA, 1998.
- [7] C. Music, D. Matko, " Discrete Event Control Theory Applied to PLC Programming" Universityof Ljubljana, Slovenia
- [8] K. Latha, B. Umamaheswari, "Supervisory control of an automated system with ladder logic programming using Petri Net" Anna University, IEEE SMC TAICI, 2002.
- [9] S. S. Peng, M.C Zhou, "Ladder Diagram and Petri-Net-Based Discrete-Event Control Design Methods," *IEEE TRANSACTIONS ON SYSTEMS, MAN, AND CYBERNETICS—PART C: APPLICATIONS AND REVIEWS*, vol. 34, NO. 4,, NOVEMBER 2004.
- [10] M.H Queiroz , E.R. Cury, "Synthesis and Implementation of Local Modular Supervisory Control for a Manufacturing Cell," *Proceedings of the Sixth International Workshop on Discrete Event Systems (WODES'02)*, 2002.
- [11] I.T. Hasdemir, S. Kurtulan L. Geren , "IMPLEMENTATION OF LOCAL MODULAR SUPERVISORY CONTROL FOR A PNEUMATIC SYSTEM USING PLC," Copyright © 2004 IFAC.